

Li_2CO_3 첨가에 따른 $\text{Mg}_5\text{Ta}_4\text{O}_{15}$ 세라믹스의 소결 특성

김재식*, 최의선*, 류기원**, 이영희*

*광운대학교, **여주대학

Sintering Properties of the $\text{Mg}_5\text{Ta}_4\text{O}_{15}$ Ceramics with Li_2CO_3 Additions

Jae-Sik Kim*, Eui-Sun Choi*, Ki-Won Ryu**, Young-Hie Lee*

*Kwangwoon University, **Yeojooh Institute of Technology

Abstract - In this study, the sintering properties and structural properties of the $\text{Mg}_5\text{Ta}_4\text{O}_{15}$ cation-deficient perovskite ceramics with Li_2CO_3 additions are investigated. The cation-deficient perovskite ceramics are prepared through the solid-state route. According to the XRD pattern, $\text{Mg}_5\text{Ta}_4\text{O}_9$, MgTa_2O_6 and $\text{Mg}_5\text{Ta}_4\text{O}_{15}$ phase existed in sintered pure $\text{Mg}_5\text{Ta}_4\text{O}_{15}$ ceramics. With Li_2CO_3 additions, the peak intensities of $\text{Mg}_5\text{Ta}_4\text{O}_9$ and MgTa_2O_6 phase were reduced. Also, diffraction intensity of the $\text{Mg}_5\text{Ta}_4\text{O}_{15}$ phase was increased with increments of Li_2CO_3 additions. The bulk densities were increased with increasing of Li_2CO_3 amount and approach the theoretical density of the $\text{Mg}_5\text{Ta}_4\text{O}_{15}$ ceramics, more and more. Microstructure of the $\text{Mg}_5\text{Ta}_4\text{O}_{15}$ ceramics were densified more and more by additions of Li_2CO_3 . The bulk density of $\text{Mg}_5\text{Ta}_4\text{O}_{15} + 5\text{wt}\% \text{ Li}_2\text{CO}_3$ ceramics sintered at 1500°C for 10 hours was 5.88 g/cm³.

1. 서 론

최근 고주파 통신 기술이 급격히 발달함에 따라 마이크로파 구성요소로 응용되는 유전체 세라믹스 중 우수한 특성을 가지는 재료에 대한 연구가 요구되고 있다. 유전체 세라믹스는 소자의 소형화, 우수한 주파수 선택성, 온도에 안정한 소자 구현 등을 위하여 큰 유전상수(ϵ_r), 높은 품질계수($Q \times f_r$), "0"에 가까운 공진주파수의 온도계수(TCRF, α_t)의 마이크로파 유전 특성을 가져야 한다.[1] 특히 포는 주파수 이하에서는 ($f \leq 100$ GHz) 내부 유전 손실이 주파수에 비례하여 커지기 때문에 마이크로파 대역에서는 높은 품질계수 특성이 더욱 중요하다.[2] 따라서 고주파 대역에서 우수한 품질계수를 가지는 재료에 대한 연구가 요구되었고, 높은 품질계수의 특성을 갖는 물질로 MgTiO_3 , SrTiO_3 와 같은 복합페로브스카이트 구조를 가지는 재료에 대한 연구가 진행되었고,[3] 최근에는 복합페로브스카이트 구조에서 약간 변형된 Cation-deficient 페로브스카이트 구조가 많은 주목을 받고 있다.[4] 이 구조는 $\text{A}_3\text{B}_4\text{O}_{15}$ 의 화학식을 가지고 있기 때문에 페로브스카이트 구조인 ABO_3 화학식으로 줄여쓰면 AB_0O_3 , 즉 음이온 B의 자리가 부족한 형태가 되어서 Cation-deficient 페로브스카이트 구조라 불린다. Cation-deficient 페로브스카이트 구조를 가지는 $\text{Ba}_5\text{Ta}_4\text{O}_{15}$, $\text{Ba}_5\text{Nb}_4\text{O}_{15}$ 그리고 $\text{Sr}_5\text{Ta}_4\text{O}_{15}$ 의 존재 및 결정구조에 대한 보고가 Galass와 Katz에 의하여 처음 발표되었다.[5]

우리는 사전연구에서 $\text{Mg}_5\text{Ta}_4\text{O}_{15}$ 세라믹스의 소결온도에 따른 마이크로파 유전 특성 및 구조적 특성에 대하여 조사하였다. 그 결과, 1475°C에서 5시간 동안 소결된 $\text{Mg}_5\text{Ta}_4\text{O}_{15}$ 세라믹스가 높은 주파수 대역에서 우수한 마이크로파 특성을 (유전율 : 8.2, 품질계수 : 251,473 GHz, TCRF : -10.91 ppm/°C) 가지는 것을 확인하였다. 그러나 $\text{Mg}_5\text{Ta}_4\text{O}_{15}$ 세라믹스의 결정구조가 단일상으로 구성되어 있지 않고 $\text{Mg}_5\text{Ta}_4\text{O}_9$, MgTa_2O_6 , $\text{Mg}_5\text{Ta}_4\text{O}_{15}$ 의 세 가지 결정상으로 구성되어 있음을 확인하였다. 이러한 여러 가지 결정상들의 존재는 마이크로파 유전체 세라믹스의 품질계수 등 유전특성의 저하를 가져오기 때문에 결정구조를 단일상으로 유지하는 것이 중요하다.

이에 본 논문에서는 $\text{Mg}_5\text{Ta}_4\text{O}_{15}$ 세라믹스의 마이크로파 유전특성을 개선하기 위한 연구의 일환으로, 결정구조의 단일상 형성을 위하여 $\text{Mg}_5\text{Ta}_4\text{O}_{15}$ 세라믹스에 낮은 용접을 가지고 있어 소결조제로 많이 사용되는 Li_2CO_3 를 첨가하여 소결특성을 고찰하였다.

2. 본 론

2.1 시편의 제조

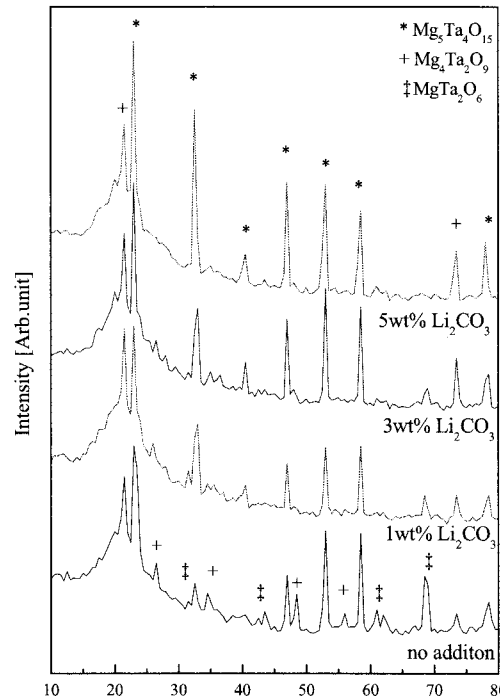
본 실험에서는 일반소성법을 사용하여 $\text{Mg}_5\text{Ta}_4\text{O}_{15}$ 세라믹스를 제조하였다. 출발물질로는 MgO 와 Ta_2O_5 (high-purity, 99.9%)를 사용하였다. MgO 와 Ta_2O_5 를 $\text{Mg}_5\text{Ta}_4\text{O}_{15}$ 의 화학식량에 맞게 평탕한 후 알코올을 분산제로 사용하여 지르코니아볼로 24시간 동안 혼합, 분쇄하였다. 혼합, 분쇄한 파우더를 100°C 전기오븐에서 충분히 건조

한 후 알루미나 도가니에 넣어 1275°C의 온도범위에서 3시간 동안 동안 하소하였다. 하소한 $\text{Mg}_5\text{Ta}_4\text{O}_{15}$ 파우더에 Li_2CO_3 를 질량비에 맞게 (wt% = 1, 3, 5) 첨가한 후 재혼합분쇄하였다. 재혼합분쇄한 $\text{Mg}_5\text{Ta}_4\text{O}_{15} + \text{xwt\% Li}_2\text{CO}_3$ ($x=1, 3, 5$) 파우더를 원통형 금형($\phi=12.8\text{mm}$)에 넣고 1000kg/cm²의 압력을 가하여 성형하였다. 성형한 시편을 전기로에 넣고 1500°C의 온도범위에서 10시간 동안 소결하였다. 하소 및 소결시 전기로의 온도상승률은 5°C/min.으로 하였다.

2.2 측정

하소온도 및 소결온도에 따른 결정구조의 변화 및 고용체 형성과정을 고찰하고자 X-선 회절분석을 하였다. X-선은 $\text{CuK}\alpha$ ($\lambda=1.542\text{\AA}$)을 사용하였으며, 스텝폭과 주사속도는 각각 0.05deg., 5deg./min.로 하였다. 주사현미경을 이용하여 결정립의 형태, 결정립계, 기공 등의 미세구조를 고찰하였다. 시편의 소결상태를 알아보기 위하여 Archimedes method를 이용하여 밀도를 측정하였다.

3. 결과 및 고찰

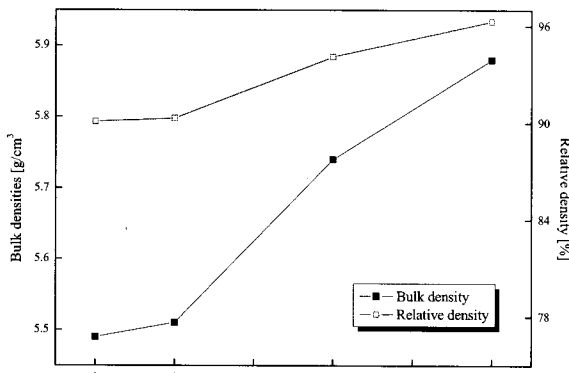


<그림 1> Li_2CO_3 첨가량에 따른 $\text{Mg}_5\text{Ta}_4\text{O}_{15}$ 세라믹스의 X-선 회절 패턴.

그림 1에 Li_2CO_3 첨가에 따른 $\text{Mg}_5\text{Ta}_4\text{O}_{15}$ 세라믹스의 X-선 회절 패턴을 나타내었다. Li_2CO_3 를 첨가하지 않은 순수한 $\text{Mg}_5\text{Ta}_4\text{O}_{15}$ 세라믹스 시편에서 $\text{Mg}_5\text{Ta}_4\text{O}_9$, MgTa_2O_6 그리고 $\text{Mg}_5\text{Ta}_4\text{O}_{15}$ 상이 나타났다. 소결한 $\text{Mg}_5\text{Ta}_4\text{O}_{15}$ 세라믹스에서의 $\text{Mg}_5\text{Ta}_4\text{O}_9$ 상과 MgTa_2O_6 상의 존재는 D. C. Baskin 등이 보고한 $\text{MgO-Ta}_2\text{O}_5$ 계의 상평형도에 대한 보고와 일치한다.[6] Li_2CO_3 를 첨가함에 따라 $\text{Mg}_5\text{Ta}_4\text{O}_9$ 상과 ($2\theta=27^\circ$, 35° , 48° , 56°) MgTa_2O_6 상의 ($2\theta=31^\circ$, 44° , 61° , 69°) 회절피크들의 강도가 감소하거나 회절피크가 사라졌다. 또한 Li_2CO_3 의 첨가량

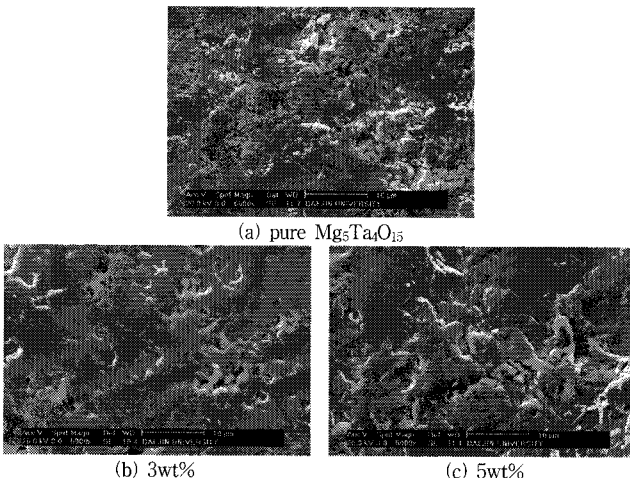
이 증가함에 따라 $Mg_5Ta_4O_{15}$ 상의 회절피크가 새로이 나타나거나 ($2\theta=41^\circ$) 회절강도가 증가하였다. ($2\theta=24^\circ$, 31°) 이 현상은 낮은 용점율을 가지는 Li_2CO_3 의 첨가에 의하여 1500°C의 소결온도에서 액상이 형성되어 $Mg_4Ta_2O_9$ 상과 $MgTa_2O_6$ 상이 반응하여 $Mg_5Ta_4O_{15}$ 상을 형성할 수 있는 충분한 에너지가 공급되었기 때문으로 생각된다.

Li_2CO_3 첨가에 따른 $Mg_5Ta_4O_{15}$ 세라믹스의 소결밀도를 그림 2에 나타내었다. Li_2CO_3 의 첨가량이 증가함에 따라 소결밀도는 지속적으로 증가하였다. 이는 액상을 형성하는 Li_2CO_3 의 첨가량이 증가하여 치밀화의 증가 및 $Mg_4Ta_2O_9$ 상과 $MgTa_2O_6$ 상의 반응에 의한 $Mg_5Ta_4O_{15}$ 상의 형성 때문으로 생각된다. 치밀화의 증가와 상들의 반응은 각각 기공과 결정립계의 감소를 가져오기 때문에 소결밀도가 증가하는 것으로 생각된다.



<그림 2> Li_2CO_3 첨가량에 따른 $Mg_5Ta_4O_{15}$ 세라믹스의 소결 밀도.

그림 3은 소결된 $Mg_5Ta_4O_{15}+xwt\%Li_2CO_3$ ($x=1, 3, 5$) 세라믹스의 미세구조 및 결정립 성장을 확인하기 위하여 축정한 SEM 이미지를 나타내었다. Li_2CO_3 를 첨가하지 않은 순수한 $Mg_5Ta_4O_{15}$ 세라믹스에서 다수의 기공이 나타났다. Li_2CO_3 첨가량을 증가시킴에 따라 기공이 감소하여 치밀한 미세구조를 나타내었다. 이는 그림 2의 소결밀도특성에서도 알 수 있듯이 Li_2CO_3 의 첨가에 따른 액상형성으로 치밀화가 증가되었기 때문으로 생각된다. 그러나 5wt%의 Li_2CO_3 가 첨가된 시편은 결정립이 비정상적으로 커지면서 결정립들의 균일성이 감소하였다. 이는 액상을 형성하는 Li_2CO_3 의 과잉첨가로 인하여 결정립에 많은 에너지가 공급되어 결정립이 과잉 성장되었기 때문으로 생각된다.



<그림 3> Li_2CO_3 첨가량에 따른 $Mg_5Ta_4O_{15}$ 세라믹스의 미세구조.

Li_2CO_3 의 첨가량이 증가함에 따라 $Mg_5Ta_4O_{15}+xwt\%Li_2CO_3$ ($x=1, 3, 5$) 세라믹스의 소결밀도는, 비록 시편들의 미세구조가 단일상으로 형성되어 있지 않아서 정확한 이론밀도를 계산하기는 어렵지만, $Mg_5Ta_4O_{15}$ 세라믹스의 이론밀도에 점점 근접하고 있다. (그림 2). 하지만 5wt%의 Li_2CO_3 가 첨가된 시편은 결정립이 과잉성장된 미세구조를 나타내었다. (그림 3-c) 이 두 가지 결과로부터 $Mg_5Ta_4O_{15}$ 의 이론밀도에 가까운, 즉 $Mg_5Ta_4O_{15}$ 단일상을 가지는 시편을 제조하기 위하여 더 많은 양의 Li_2CO_3 를 첨가하는 것은 무의미 한 것으로 생각된다. 또한 X-선 회절분석 결과, 1~5wt%의 Li_2CO_3 첨가는 $Mg_5Ta_4O_{15}$ 단일상을 형성하기에 충분한 에너지를 형성하지 못하는 것으로 생각된다. 따라서 $Mg_5Ta_4O_{15}$ 단일상을 형성하기 위해서 소결시간증가, 복합소결조제의 첨가 등 다양한 실험조건에 대한 연구가 진행되어야 할 것으로 생각된다.

4. 결 론

Li_2CO_3 첨가에 따른 $Mg_5Ta_4O_{15}$ 세라믹스의 구조 및 소결 특성을 조사하여 다음과 같은 결과를 얻었다.

1. $Mg_5Ta_4O_{15}$ 세라믹스의 X-선 회절 분석 결과, $Mg_4Ta_2O_9$, $MgTa_2O_6$, $Mg_5Ta_4O_{15}$ 상이 공존하였다. Li_2CO_3 의 첨가량이 증가함에 따라 $Mg_4Ta_2O_9$ 과 $MgTa_2O_6$ 상의 회절피크가 감소하였고 $Mg_5Ta_4O_{15}$ 상의 회절피크가 형성되었다.
2. $Mg_5Ta_4O_{15}$ 세라믹스의 밀도는 Li_2CO_3 의 첨가량이 증가함에 따라 증가하였다. 또한 $Mg_5Ta_4O_{15}$ 세라믹스의 이론밀도에 (6.1 g/cm³) 대하여 90% 이상의 값을 나타내었다.
3. $Mg_5Ta_4O_{15}$ 세라믹스의 미세구조는 Li_2CO_3 의 첨가량이 증가함에 따라 기공이 감소하고 치밀화가 증가하였다. 그러나 5wt%가 첨가된 시편에서는 결정립의 과잉 성장이 나타났다.
4. 1500°C에서 10시간 동안 소결된 $Mg_5Ta_4O_{15}+5wt\% Li_2CO_3$ 세라믹스는 $Mg_5Ta_4O_{15}$ 단일상을 형성하지는 못하였지만, 이론밀도의 96.3%에 해당하는 5.88 g/cm³의 소결밀도를 나타내었다.

이상의 결과로 $Mg_5Ta_4O_{15}$ 세라믹스에 Li_2CO_3 를 첨가함에 따라 단일상이 점차 형성되어가는 것을 확인하였다. 그러나 완전한 $Mg_5Ta_4O_{15}$ 단일상을 형성하기 위해서는 소결시간증가, 복합소결조제의 첨가 등 다양한 실험조건들이 복합적으로 조사되어야 할 것으로 생각된다.

[참 고 문 헌]

- [1] Y. Konishi, "Novel dielectric waveguide components-microwave applications of new ceramic materials", Proc. IEEE 79, p.726, 1991.
- [2] K. Wakino, D. A. Sagala and H. Tamura, Jan. J. Appl. Phys., part 1, Vol. 24, p.1042, 1985.
- [3] 최의선, 이문기, 류기원, 배선기, 이영희, "소결온도에 따른 0.9MgTiO₃-0.1SrTiO₃ 세라믹스의 구조 및 마이크로파 유전특성", 대한전기학회논문지, Vol. 49, No. 5, p.294, 2000.
- [4] C. Vineis, P. K. Davies, T. Negus and S. Bell, MRS Bull., Vol. 31, p.431, 1996.
- [5] F. Galasso, L. Katz, Acta Cryst., Vol. 14, p.647, 1961.
- [6] D. C. Baskin, Y. Chell, "Phase studies in the binary system MgO-Ta₂O₅", J. Am. Ceram. Soc., Vol. 46, No. 4, p.174, 1963.